

К 90-ЛЕТИЮ СО ДНЯ РОЖДЕНИЯ Л.Д. ЛАНДАУ

Поиск нарушения CP-инвариантности в распадах В-мезонов

М.В. Данилов

Краткий обзор перспектив поиска нарушения CP-инвариантности в распадах В-мезонов. Основан на докладе, сделанном на заседании Президиума РАН 20 января 1998 г.

PACS numbers: 11.15.Ex, 11.30.Fs, **12.60.-i**, 13.20.He, 14.40.Nd

Содержание

1. Введение (631).
 2. Механизм нарушения CP-инвариантности (632).
2.1. Матрица Кабиббо – Кобаяши – Маскава. 2.2. Определение V_{cb} . 2.3. Определение V_{ub} . 2.4. Определение V_{td} . 2.5. Как измерить углы? 2.6. CP-нарушение за рамками Стандартной Модели.
 3. Измерение CP-асимметрии в распадах В-мезонов (636).
3.1. Эксперимент HERA-B. 3.2. В-фабрики. 3.3. Эксперименты CDF и D0. 3.4. LHC.
 4. Заключение (639).
- Список литературы (639).

1. Введение

Различие свойств материи и антиматерии является, пожалуй, одной из самых интригующих загадок природы. Без этого различия, по-видимому, не могла бы существовать наша цивилизация, так как протоны и антипротоны проаннигилировали бы на ранних стадиях развития Вселенной и не было бы вещества, из которого мы состоим.

Л.Д. Ландау внес очень важный вклад в формулировку этой проблемы — ввел понятие комбинированной инверсии, т.е. одновременного зеркального отражения и замены частиц на античастицы [1, 2]. Именно в терминах комбинированной инверсии и обсуждаются ныне различия в свойствах материи и антиматерии, ведь, как писал Л.Д. Ландау: "К⁻-мезон есть К⁺-мезон, отраженный в зеркале" [1].

Исследования в этой области ведутся в очень многих направлениях. В нашей статье мы сконцентрируемся на одном и очень перспективном направлении — на поиске различия в поведении так называемых прелестных частиц и их античастиц. Для этого создаются крупные ускорители и установки, и важные результаты должны быть получены в ближайшее время.

После краткого обсуждения истории вопроса мы расскажем о результатах, на основе которых предсказывается большое различие в свойствах прелестных и антипрелестных частиц, и сравним эксперименты, в которых это различие пытаются обнаружить.

Благодаря усилиям фантастов, понятие антиматерии теперь знакомо каждому школьнику, но рождалось оно довольно мучительно. В 1928 г. Дирак вывел свое уравнение для электронов, у которого наряду с решениями с положительной энергией были и решения с отрицательной энергией [3]. Дирак предложил интерпретировать эти решения как протоны [4]. Однако такая интерпретация подверглась серьезной критике: протоны и электроны должны были быстро аннигилировать, и, кроме того, их массы сильно различались. (Большой вклад в понимание этих вопросов внесли Оппенгеймер и И.Е. Тамм [5].) Тогда, в 1931 г., Дирак предложил для решения этой проблемы ввести совершенно новые частицы — антиэлектрон и антипротон [6]. Это была революционная идея. Насколько она была революционной, можно судить по реакции на нее знаменитого физика Паули. В 1932 г. он писал [7]: "Этот выход является уже потому неудовлетворительным, что законы природы в этой теории совершенно симметричны относительно электронов и антиэлектронов". И далее: "Мы не думаем таким образом, чтобы намеченный путь мог быть серьезно принят во внимание". В том же 1932 г. Андерсон открыл антиэлектрон [8], и воцарилась всеобщая вера в зарядовую симметрию Вселенной, т.е. в симметрию законов природы относительно материи и антиматерии. Эту симметрию называют также С-инвариантностью. Надо заметить, что концепция зарядовой симметрии нетривиальна, поскольку Вселенная, которая нас окружает, очень асимметрична. Никаких признаков заметного количества антиматерии в ней не было обнаружено, хотя такие поиски и продолжаются [9]. В 1956 г. Ли и Янг, на основе анализа экспериментальных данных по распадам К-мезонов, предсказали нарушение зеркальной симметрии, т.е. замены левого на правое [10]. Эта симметрия называется также Р-инвариантностью. В том же году Б.Л. Иоффе, Л.Б. Окунь и А.П. Рудик показали, что предсказываемое нарушение Р-инвариантности должно приводить и к нарушению С-инвариантности [11]. Такой же вывод был сделан чуть позже Ли, Оме и Янгом

М.В. Данилов. Государственный научный центр "Институт теоретической и экспериментальной физики",
117218 Москва, ул. Б. Черемушкинская 25, Россия
E-mail: danilov@iris1.itep.ru

Статья поступила 30 апреля 1998 г.

[12]. В 1957 г. нарушение зеркальной симметрии было обнаружено Ву с соавторами [13], а Гарвин, Ледерман, Вайнрич [14] и Фридман, Телегди [15] обнаружили нарушение зарядовой симметрии. Л.Д. Ландау, которому резко не нравилась асимметрия пространства относительно зеркального отражения, выдвинул гипотезу инвариантности относительно комбинированной инверсии, которую теперь называют СР-инвариантностью [1, 2]. Таким образом, на новом уровне восстанавливалась симметрия между материей и антиматерией. По-прежнему экипаж гипотетического космического корабля, приближавшегося к Земле от далекой звезды, не мог бы сообщить нам, состоит он из материи или антиматерии, не передавая кусочек вещества. Сохранение СР-, а не Р-четности позволило Л.Д. Ландау [16, 2] предложить теорию двухкомпонентного нейтрино, в которой ν и $\bar{\nu}$ отличаются знаком спиральности. Аналогичные идеи обсуждались Саламом [17] и Ли и Янгом [18]. СР-инвариантность хорошо выполнялась на опыте. Однако многие авторы призывали искать ее нарушение (см., например, [19]), и такие поиски велись. В 1964 г. Кристенсон, Кронин, Фитч и Турле обнаружили небольшое нарушение СР-инвариантности в распадах К-мезонов [20]. А в 1967 г. А.Д. Сахаров [21] показал, что для объяснения барионной асимметрии Вселенной, т.е. избытка в ней материи, необходимо нарушение СР-инвариантности. Таким образом, была осознана фундаментальная роль нарушения СР-инвариантности в самом факте существования материи, а следовательно, и в существовании нашей цивилизации. Большую роль в развитии этих идей сыграли работы В.А. Кузьмина, В.А. Рубакова и М.Е. Шапошникова [22, 23]. Обзор современной ситуации с объяснением барионной асимметрии Вселенной можно найти в [24].

2. Механизм нарушения СР-инвариантности

Как известно, сейчас открыто три поколения фундаментальных фермионов, приведенных в табл. 1. Из первого поколения составлена вся та материя, которая нас окружает, а частицы второго и третьего поколения — более тяжелые, нестабильные и в конце концов распадаются на частицы первого поколения.

Таблица 1. Фундаментальные фермионы

Частицы	Заряд	Барионный заряд	Поколения		
			1	2	3
Кварки	+2/3	1/3	u	c	t
	-1/3	1/3	d	s	b
Лептоны	0	0	ν_e	ν_μ	ν_τ
	-1	0	e	μ	τ

2.1. Матрица Кабиббо–Кобаяши–Маскава

Зачем нужны три поколения? Это до сих пор неясно, хотя, возможно, они нужны, чтобы иметь различие между материей и антиматерией. Именно в случае наличия трех поколений оно возникает естественным образом [25].

Константы связей кварков разных поколений описываются так называемой матрицей Кабиббо–Кобаяши–Маскава (СКМ). Например, вероятность перехода b-кварка в c-кварк зависит от матричного элемента V_{cb} , а

вероятность перехода b-кварка в u-кварк зависит от матричного элемента V_{ub} . Всего в случае трех поколений имеется 9 комплексных элементов матрицы СКМ. Однако можно показать, что они зависят только от 4-х параметров — трех углов и фазы:

$$V_{СКМ} = \begin{pmatrix} V_{ud} & V_{us} & V_{ub} \\ V_{cd} & V_{cs} & V_{cb} \\ V_{td} & V_{ts} & V_{tb} \end{pmatrix} = \begin{pmatrix} c_{12}c_{13} & s_{12}c_{13} & s_{13}\exp(-i\delta) \\ -s_{12}c_{23} - c_{12}s_{23}s_{13}\exp i\delta & c_{12}c_{23} - s_{12}s_{23}s_{13}\exp(-i\delta) & s_{23}c_{13} \\ s_{12}s_{23} - c_{12}c_{23}s_{13}\exp i\delta & -c_{12}s_{23} - s_{12}c_{23}s_{13}\exp i\delta & c_{23}c_{13} \end{pmatrix},$$

где $c_{ij} = \cos \theta_{ij}$ и $s_{ij} = \sin \theta_{ij}$. Причем именно эта фаза и отвечает в современной теории за различие между свойствами материи и антиматерии. Параметры, определяющие матрицу СКМ, являются фундаментальными параметрами современной теории, которую обычно называют Стандартной Моделью (СМ). Они не предсказываются теорией и должны определяться экспериментально.

Часто для матрицы СКМ используется приближенная параметризация Вольфенштейна [26]:

$$V_{СКМ} = \begin{pmatrix} 1 - \frac{\lambda^2}{2} & \lambda & A\lambda^3(\rho - i\eta) \\ -\lambda & 1 - \frac{\lambda^2}{2} & A\lambda^2 \\ A\lambda^3(1 - \rho - i\eta) & -A\lambda^2 & 1 \end{pmatrix} + O(\lambda^4).$$

Следуя [27, 28], мы используем следующие соотношения:

$$s_{12} = \lambda, \quad s_{23} = A\lambda^2, \quad s_{13}\exp(-i\delta) = A\lambda^3(\rho - i\eta),$$

что приводит к

$$\rho = \frac{s_{13}}{s_{12}s_{23}} \cos \delta, \quad \eta = \frac{s_{13}}{s_{12}s_{23}} \sin \delta.$$

Между элементами матрицы СКМ существует очень полезное геометрическое соотношение. Поскольку эта матрица унитарна, ее столбцы должны быть ортогональны:

$$V_{ud}V_{ub}^* + V_{cd}V_{cb}^* + V_{td}V_{tb}^* = 0.$$

В этом выражении матричные элементы V_{ud} и V_{tb} описывают связи кварков внутри одного и того же поколения и примерно равны единице, а матричный элемент $V_{cd} \approx -V_{us} \approx -\lambda$ описывает связь кварков первого и второго поколений и хорошо известен из полулептонных распадов К-мезонов и гиперонов: $V_{us} = 0,2205 \pm 0,0018$ [29]. Поэтому данное выражение сводится к более простому:

$$V_{ub}^* - \lambda V_{cb}^* + V_{td} \approx 0,$$

представляющему треугольник на комплексной плоскости (рис. 1). Этот треугольник называется треугольником унитарности. Его стороны определяются абсолютными величинами элементов матрицы СКМ, а углы, как мы увидим в дальнейшем, определяют различие в распадах V^0 -мезонов, которые состоят из (bd)-кварков, и их античастиц.

Перед обсуждением того, как эти углы измерять, мы расскажем об экспериментах, которые определили сто-

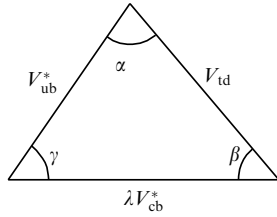


Рис. 1. Треугольник унитарности.

роны треугольника унитарности. Поскольку треугольник определяется тремя сторонами, то из этих измерений можно получить информацию и о его углах.

2.2. Определение V_{cb}

Начнем с обсуждения матричного элемента V_{cb} , определяющего связь кварков второго и третьего поколений. Обнаружение группами HRS и MAC неожиданно большого времени жизни В-мезонов [30] явилось сюрпризом и показало, что $|V_{cb}|$ примерно в 5 раз меньше, чем матричный элемент V_{us} , определяющий связь кварков первого и второго поколений. Полулептонные распады В-мезонов наиболее удобны для количественного измерения V_{cb} , поскольку лептоны не участвуют во взаимодействиях в конечном состоянии. Первоначальные измерения относительной вероятности инклюзивных полулептонных распадов В-мезонов [29] дали значения в районе 10–14%. К сожалению, в этих измерениях не разделялись лептоны от первичных, $b \rightarrow c l^- \bar{\nu}_l$, и вторичных, $c \rightarrow s l^+ \nu_l$, распадов. Необходимость вычитания фона от вторичных лептонов привела к модельной зависимости результата и большим систематическим ошибкам. Коллаборация ARGUS нашла способ решения этой проблемы [31]. В жесткой части спектра вторичные лептоны практически отсутствуют, поэтому по знаку заряда лептона можно определить распался b - или \bar{b} -кварк: b -кварки распадаются на отрицательные лептоны, а \bar{b} -кварки — на положительные. Поскольку b - и \bar{b} -кварки рождаются парами, идентифицировав один из них, мы автоматически идентифицируем и второй, а следовательно, знаем знак первичного лептона в его распаде. Это позволяет полностью исключить фон от вторичных лептонов, которые имеют противоположный заряд, и получить модельно-независимое значение относительной вероятности полулептонных распадов В-мезонов. Современные значения этой вероятности и времени жизни В-мезонов приводят [32] к

$$|V_{cb}| = (38,7 \pm 0,9 \pm 1,9) \times 10^{-3},$$

где во второй ошибке учтены неопределенности в теоретическом описании инклюзивных полулептонных распадов.

Матричный элемент V_{cb} можно определить и из относительной вероятности эксклюзивных полулептонных распадов В-мезонов на D^{*-} или D -мезоны (рис. 2), впервые обнаруженных в эксперименте ARGUS [33]. При этом необходимо оценить вероятность того, что c -кварк, возникающий при распаде b -кварка, образует со спектаторным кварком $D^{(*)-}$ -мезон. Первоначально это делалось на основе различных моделей, что вносило большие

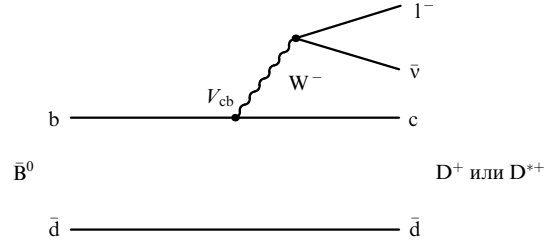


Рис. 2. Диаграмма распада $\bar{B}^0 \rightarrow D^{(*)+} l^- \bar{\nu}_l$.

теоретические неопределенности в извлекаемое значение V_{cb} , особенно в случае распада на D^* -мезоны. М.Б. Волошин и М.А. Шифман заметили [34], что в случае очень больших масс b - и c -кварков V_{cb} может быть извлечено из распада $B \rightarrow D^* l \nu$ без модельных предположений. Идея их предложения проста и элегантна. При максимальном q^2 c -кварк покоится в системе центра масс b -кварка. Поэтому спектаторный кварк и виртуальные глюоны и кварк-антикварковые пары, которые окружали b -кварк, просто не замечают замены одного тяжелого кварка на другой и образуют с ним связанное состояние (D^* -мезон). Поправки, возникающие из-за конечных масс b - и c -кварков, малы и могут быть достаточно хорошо оценены. Благодаря усилиям Изгура и Вайза и многих других авторов [35] было понято, что в пределе бесконечно тяжелых масс возникают дополнительные симметрии и образовалось новое теоретическое направление — эффективная теория тяжелого кварка. В ее рамках удается с хорошей точностью извлечь значение V_{cb} из эксклюзивных полулептонных распадов $B \rightarrow D^* l \nu$ [32]:

$$|V_{cb}| = (39,1 \pm 2,7 \pm 1,3) \times 10^{-3}.$$

Это значение V_{cb} хорошо согласуется со значением, извлеченным из анализа инклюзивных полулептонных распадов. Анализ распадов $B \rightarrow D l \nu$ приводит к близким значениям $|V_{cb}|$, но с существенно большими неопределенностями [32].

2.3. Определение V_{ub}

Следующую сторону треугольника унитарности — V_{ub} — экспериментально определить еще труднее, поскольку оказалось, что она на порядок меньше, чем V_{cb} , а значит, все вероятности на 2 порядка меньше. Идея эксперимента очень проста. Поскольку u -кварк легче, чем c -кварк, лептоны в распаде b -кварка на u -кварк могут иметь больший импульс, чем при переходе b -кварка в c -кварк, и быть за кинематическим пределом для последнего перехода. Проблема состоит в том, что сигнал очень мал по сравнению с фоном. Поэтому эксперимент был очень трудным. Тем не менее в 1989 г. группы ARGUS и CLEO практически одновременно объявили о наблюдении перехода $b \rightarrow u l^- \bar{\nu}$ [36]. К сожалению, при извлечении значения V_{ub} из этих данных возникают большие трудности, связанные с экстраполяцией из небольшой области, где проводятся измерения на весь импульсный интервал лептонов. Современное значение $|V_{ub}/V_{cb}|$ оказывается равным [29]

$$\left| \frac{V_{ub}}{V_{cb}} \right| = 0,08 \pm 0,02.$$

Группе CLEO удалось измерить относительные вероятности распадов $B \rightarrow \rho l \nu$, $B \rightarrow \pi l \nu$ [37]. Получаемое при этом значение $|V_{ub}| = (3,3 + 0,4_{\text{экс}} \pm 0,7_{\text{теор}}) \times 10^{-3}$ согласуется со значением, полученным из инклюзивных распадов.

2.4. Определение V_{td}

Третью сторону треугольника унитарности — V_{td} — удалось оценить по частоте $B^0 \bar{B}^0$ -осцилляций. Квантовое число прелесть не сохраняется в слабых взаимодействиях. Поэтому B^0 - и \bar{B}^0 -мезоны могут переходить друг в друга за счет процессов второго порядка. Одна из доминирующих диаграмм показана на рис. 3. Поскольку B^0 - и \bar{B}^0 -частицы смешиваются, состояниями с определенной массой являются их линейные комбинации, которые имеют примерно одинаковое время жизни τ_B , но слегка различающиеся массы m_1 и m_2 . Вероятность образования \bar{B}^0 -мезонов в пучке B^0 -мезонов определяется формулой

$$\bar{n}(t) = \frac{\exp(-t/\tau_B)}{2} (1 - \cos \Delta m t),$$

где $\Delta m = m_1 - m_2$. Таким образом, в пучке B^0 -мезонов со временем появляются \bar{B}^0 -мезоны, и их доля осциллирует со временем. Частота этих осцилляций Δm пропорциональна квадрату массы t -кварка и квадрату матричного элемента V_{td} [38]:

$$\Delta m = \frac{G_F^2}{6\pi^2} B_B f_B^2 m_B |V_{tb}^* V_{td}|^2 m_t^2 F\left(\frac{m_t^2}{M_W^2}\right) \eta_{\text{КХД}}, \quad (1)$$

где G_F — константа слабого взаимодействия; $\eta_{\text{КХД}} = 0,55 \pm 0,01$ — поправка КХД [39]; $F(m_t^2/M_W^2)$ — надежно вычисляемая функция, а $f_B^2 B_B$ — параметризация адронного матричного элемента, который, можно сказать, задает вероятность \bar{b} - и d -кваркам в B^0 -мезоне оказаться в одной точке. Измерив частоту $B^0 \bar{B}^0$ -осцилляций, можно определить массу t -кварка или матричный элемент V_{td} . Вероятность перехода B^0 -мезонов в \bar{B}^0 -мезоны ожидалась очень малой, так как предсказывался не очень тяжелый t -кварк. Более того, имелись указания на существование t -кварка с массой около 40 ГэВ [40] (мы используем систему единиц, в которой $c = 1$ и $\hbar = 1$). Поэтому обнаружение коллаборацией ARGUS [41] $B^0 \bar{B}^0$ -осцилляций явилось большим сюрпризом.

Как уже говорилось, в распадах b -кварка могут возникать только отрицательно заряженные лептоны, а в распадах \bar{b} -кварка — только положительно заряженные. Поскольку b - и \bar{b} -кварки рождаются парно, то без осцилляций будут возникать только пары лептонов противоположного знака. Осцилляции будут приводить

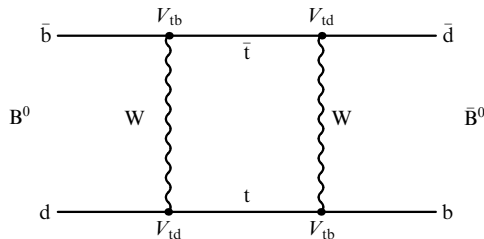


Рис. 3. Диаграмма перехода B^0 -мезона в \bar{B}^0 -мезон.

к парам лептонов одинакового знака. Их доля,

$$\frac{N_{l\pm l\pm}}{N_{ll}} \approx \frac{x^2}{2 + 2x^2},$$

зависит от параметра $x = \Delta m \tau_B$, а следовательно, от частоты осцилляций.

Изучая $\Upsilon(4S)$ -резонанс, который распадается на $B^0 \bar{B}^0$ - или $B^+ B^-$ -пары, коллаборация ARGUS обнаружила пары первичных лептонов одинакового знака и тем самым обнаружила $B^0 \bar{B}^0$ -осцилляции [41]. Более того, было полностью реконструировано событие с двумя B^0 -мезонами в конечном состоянии, что явилось самым наглядным свидетельством $B^0 \bar{B}^0$ -осцилляций. Параметр осцилляций оказался неожиданно большим:

$$x = \Delta m \tau_B = 0,73 \pm 0,15.$$

Этот результат позволил впервые оценить матричный элемент V_{td} и показал, что масса t -кварка больше 50 ГэВ.

К настоящему времени t -кварк с массой $m_t = 175 \pm 6$ ГэВ [42] обнаружен группами CDF и D0 (FNAL, США), а точность в определении параметра x существенно улучшилась благодаря экспериментам на коллайдере LEP (CERN, Швейцария):

$$x = 0,72 \pm 0,03.$$

К сожалению, точность определения величины $|V_{td}|$ улучшилась не слишком заметно из-за теоретических неопределенностей в величинах f_B и B_B . При использовании $f_B \sqrt{B_B} = 200 \pm 40$ МэВ [43] получаются следующие ограничения [32]:

$$0,005 < |V_{td}| < 0,015$$

Отношение $f_{B_d}^2 B_{B_d} / f_{B_s}^2 B_{B_s}$ предсказывается с меньшей теоретической неопределенностью. Поэтому, измерив осцилляции B_s^0 -мезонов, для которых параметр Δm_s описывается формулой, аналогичной (1), можно будет определить $|V_{td}|$ с лучшей точностью. Сейчас имеется только нижний предел [32] $\Delta m_s > 9,2 \text{ пкс}^{-1}$, что приводит к дополнительным ограничениям на V_{td} только при оптимистической оценке неопределенностей в отношении $f_{B_d}^2 B_{B_d} / f_{B_s}^2 B_{B_s}$. Мы поэтому не будем пока использовать эту информацию.

Итак, мы обсудили измерения всех трех сторон треугольника унитарности. Перед тем, как переходить к его углам, обратим внимание на очень большое различие между константами связи кварков разных поколений.

Внутри поколений константы связи примерно равны единице, естественно, в единицах константы слабого взаимодействия G_F . Между первым и вторым поколениями константы связи составляют примерно 0,2; между вторым и третьим поколениями — порядка 0,04; и еще на порядок меньше между третьим и первым. Откуда берется такая иерархия констант связи пока не ясно. Будем надеяться, что экспериментальные наблюдения помогут указать путь к более полной теории, которая ее объяснит.

2.5. Как измерить углы?

Измерение трех сторон треугольника полностью определяет его углы. К сожалению, в измерениях имеются неопределенности. Дополнительные ограничения на положение вершины треугольника унитарности возни-

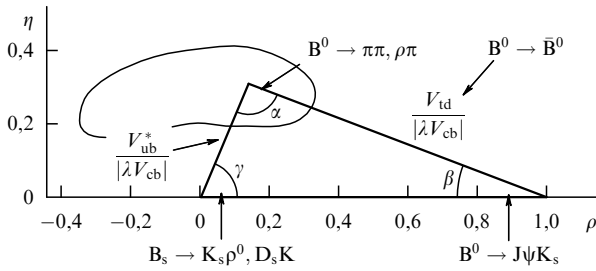


Рис. 4. Разрешенная область для вершины треугольника унитарности ($\pm 1\sigma$).

кают из анализа нарушения СР-инвариантности в распадах $K \rightarrow \pi\pi$, описываемого параметром ϵ_K . Вершина треугольника при угле α должна лежать на гиперболе, положение которой определяется параметром ϵ_K , а также m_t , V_{cb} и B_K . При учете данного требования из измерения сторон треугольника можно получить ограничения на его углы. Разрешенная область для вершины треугольника унитарности показана на рис. 4 [44]. На этом рисунке стороны треугольника нормированы на величину $\lambda|V_{cb}|$ и, таким образом, основание треугольника равно 1.

Углы треугольника унитарности оказываются большими, а они в современной теории прямо связаны с асимметрией распадов В- и \bar{B} -мезонов. Так, например, асимметрия в распадах B^0 - и \bar{B}^0 -мезонов на $J/\psi K_s^0$ определяется углом β .

Эта асимметрия возникает из-за того, что В-мезон может распасться в конечное состояние $J/\psi K_s^0$ напрямую, а может перейти сначала в \bar{B}^0 -мезон и затем распасться в то же самое конечное состояние (рис. 5). Интерференция двух возможных путей приводит к асимметрии в числе распадов В- и \bar{B} -мезонов на $J/\psi K_s^0$. Данная асимметрия зависит от угла β треугольника унитарности и от времени:

$$a_{J/\psi K_s^0}(t) = \frac{n(t) - \bar{n}(t)}{n(t) + \bar{n}(t)} = -\sin(2\beta) \sin \frac{xt}{\tau_B}. \quad (2)$$

В этом выражении $\sin 2\beta$ возникает из-за того, что в диаграммы для $B^0\bar{B}^0$ -осцилляций входит матричный элемент $V_{td} = |V_{td}| \exp(-i\beta)$, а второй множитель — $\sin(xt/\tau_B)$ — задает вероятность осцилляций.

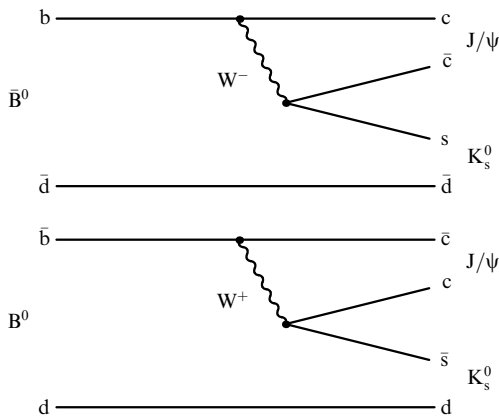


Рис. 5. Диаграммы распадов \bar{B}^0 - и B^0 -мезонов в $J/\psi K_s^0$.

Поскольку величина $x = 0,72 \pm 0,03$ довольно велика, $\sin(xt/\tau_B)$ оказывается большим при временах, сравнимых с временем жизни В-мезонов, т.е. когда еще не все В-мезоны успели распасться. Поэтому асимметрия может быть измерена: в то время, когда она становится большой, имеется еще достаточное количество В-мезонов. Таким образом, обнаружение неожиданно больших $B^0\bar{B}^0$ -осцилляций [41] открыло путь к поиску нарушения СР-инвариантности в В-мезонах.

Аналогично, асимметрия в распадах на $\pi^+\pi^-$ (рис. 6) зависит от $\beta + \gamma = \pi - \alpha$:

$$a_{\pi\pi}(t) = -\sin(2\alpha) \sin \frac{xt}{\tau_B},$$

поскольку в амплитуду распада входит матричный элемент $V_{ub} = |V_{ub}| \exp(-i\gamma)$. Правда, в этом случае, так называемые пингвинные диаграммы, одна из которых показана на рис. 7, могут вносить существенный вклад и нарушать простое соотношение между асимметрией и $\sin 2\alpha$. Но несмотря на это, угол α может быть определен [45].

Кроме приведенных примеров существует большое количество распадов, которые можно практически использовать для определения углов треугольника унитарности. Некоторые из них приведены в табл. 2 и показаны на рис. 4.

Кроме нарушения СР-инвариантности, связанного с $B^0\bar{B}^0$ -осцилляциями, возможно прямое нарушение СР-

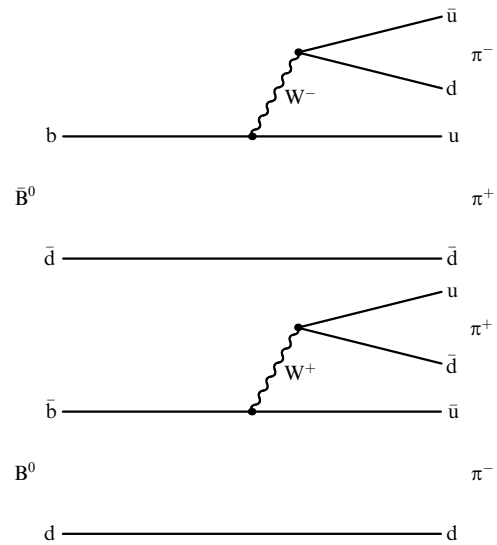


Рис. 6. Диаграммы распада $B \rightarrow \pi^+\pi^-$.

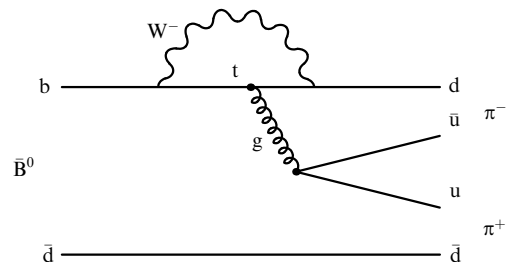


Рис. 7. Пингвинная диаграмма для распада $B \rightarrow \pi^+\pi^-$.

Таблица 2. Точности определения $\sin 2\beta$ и $\sin 2\alpha$ по различным распадам в эксперименте BaBar за 1 год (10^7 с)

Распад	Br	$\sin \Phi$	σ
$J/\psi K_S^0$	$0,5 \times 10^{-3}$	$\sin 2\beta$	0,10
$J/\psi K_L^0$	$0,5 \times 10^{-3}$		0,16
$J/\psi K^{*0}$	$1,6 \times 10^{-3}$		0,19
$D^+ D^-$	6×10^{-4}		0,21
$D^{*+} D^{*-}$	7×10^{-4}		0,15
$D^{*\pm} D^\pm$	8×10^{-4}		0,15
$\pi^+ \pi^-$	$1,2 \times 10^{-5}$	$\sin 2\alpha$	0,20
$\rho\pi$	$5,8 \times 10^{-5}$		0,11
$a_1\pi$	6×10^{-5}		0,24

инвариантности, возникающее из-за интерференции парциальных амплитуд с различными слабыми и сильными фазами, например,

$$\Gamma(B^+ \rightarrow K^+ \rho^0) \neq \Gamma(B^- \rightarrow K^- \rho^0).$$

Однако обычно его трудно бывает связать с углами треугольника унитарности, и мы не будем этот вопрос здесь обсуждать.

За последнее время поиск нарушения CP-инвариантности в системе В-мезонов образовал целое направление физики элементарных частиц. Сейчас в лабораториях КЕК (Япония) и SLAC (США) строятся два специальных крупных ускорителя, так называемые В-фабрики. Создаются четыре специализированных детектора: BaBar (SLAC), Belle (КЕК), HERA-B (DESY, ФРГ) и LHCb (CERN, Швейцария). Поиск нарушения CP-инвариантности в В-мезонах включается в программу исследований на существующих установках CDF и D0 на рр-коллайдере во FNAL. Такая активность отражает большой интерес к проблеме. Ведь вполне может оказаться, что современная теория нарушения CP-инвариантности неверна или неполна, и вместо треугольника унитарности с согласующимися сторонами и углами мы получим что-то совершенно неожиданное. Тем более, что имеются веские теоретические указания на то, что нарушение CP-инвариантности в стандартной теории недостаточно для возникновения барионной асимметрии Вселенной (см., например, [46]).

2.6. CP-нарушение за рамками Стандартной Модели

Имеется много сценариев, в которых нарушение CP-инвариантности отличается от СМ и которые обычно требуют введения в нее новых частиц. Детальное рассмотрение этой проблемы можно найти, например, в [47]. Здесь мы приведем только несколько примеров.

1. Четвертое поколение кварков и лептонов. В этом случае треугольник унитарности превращается в четырехугольник. Существование четвертого поколения считается маловероятным из-за отсутствия четвертого типа нейтрино с массой меньше $M_Z/2$, но исключить эту возможность пока нельзя.

2. Нейтральные токи, меняющие аромат. Такие токи будут давать вклад в $B^0 \bar{B}^0$ -осцилляции и, следовательно, изменят предсказания СМ для CP-нарушения. В этой модели треугольник унитарности также превращается в четырехугольник, показанный на рис. 8. Если $B^0 \bar{B}^0$ -осцилляции определяются не квадратными диаграммами СМ (см. рис. 3), а новым нейтральным током, то асимметрия в распаде $B^0 \rightarrow J/\psi K_S^0$ будет зависеть от $\sin 2\bar{\beta}$, а не от $\sin 2\beta$. Таким образом, в этой модели CP-асимметрии измеряют совершенно другие углы.

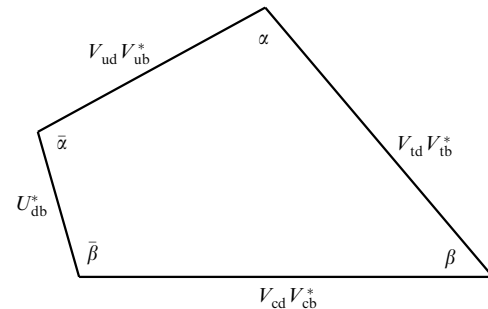


Рис. 8. Четырехугольник унитарности в модели с нейтральными токами (характеризуемыми параметром U_{db}^*), меняющими аромат.

3. Дополнительные хиггсовские дублеты. В этом случае кроме одного нейтрального бозона Хиггса, требующегося в СМ, возникают дополнительные заряженные и нейтральные хиггсовские бозоны. Заряженные бозоны могут давать вклад в $B^0 \bar{B}^0$ -смешивание за счет диаграмм, показанных на рис. 9. Это приведет к изменению в значении V_{td} , извлекаемом из частоты $B^0 \bar{B}^0$ -осцилляций. Нейтральные хиггсовские бозоны могут давать вклад в $B^0 \bar{B}^0$ -осцилляции на древесном уровне и сильно их менять по сравнению с СМ. Имеются модели, в которых CP-инвариантность нарушается за счет обмена хиггсовскими бозонами, а СКМ-матрица является реальной. При этом треугольник унитарности вырождается в прямую линию.

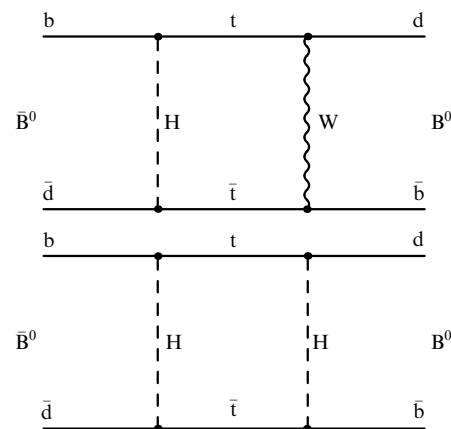


Рис. 9. Диаграммы перехода \bar{B}^0 -мезона в B^0 -мезон с обменом хиггсовскими бозонами.

Приведенные примеры иллюстрируют, что измерение CP-асимметрии в В-мезонах весьма чувствительно к "новой физике", находящейся за рамками СМ.

3. Измерение CP-асимметрии в распадах В-мезонов

Как предполагается измерять CP-асимметрию в распадах В-мезонов, мы расскажем на примере установки HERA-B, а затем прокомментируем другие подходы.

3.1. Эксперимент HERA-B

В установке HERA-B В-мезоны рождаются на тонких проволочках, окружающих внутренний пучок ускорителя.

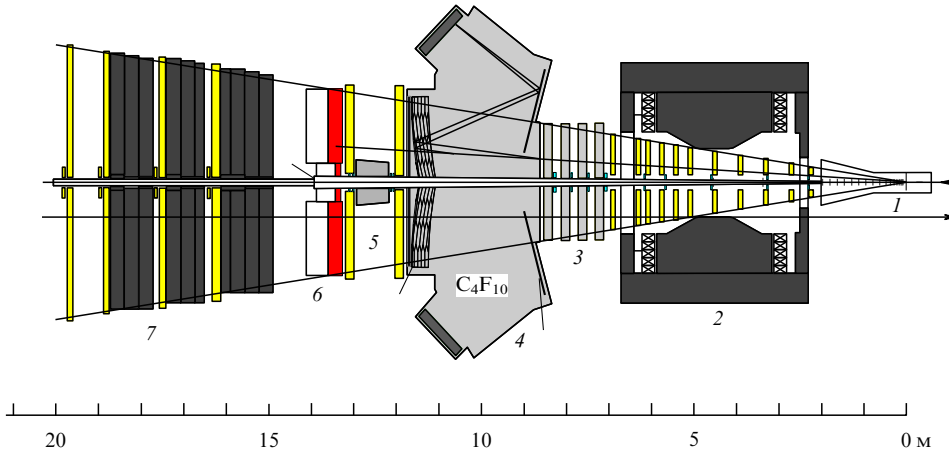


Рис. 10. Схема установки HERA-B: 1 — вершинный детектор; 2 — магнит; 3 — дрейфовые камеры; 4 — черенковский счетчик; 5 — детектор переходного излучения; 6 — электромагнитный калориметр; 7 — мюонный идентификатор.

теля HERA. Это позволяет использовать протоны из гало пучка, которые все равно были бы потеряны.

Схема установки HERA-B показана на рис. 10. В-мезоны рождаются на проволоочной мишени, вершины их распадов регистрируются кремниевыми микростриповыми детекторами. Импульсы заряженных частиц измеряются с помощью дрейфовых и газовых микростриповых камер, расположенных внутри и после магнита. К-мезоны идентифицируются с помощью черенковского счетчика, электроны — с помощью детектора переходного излучения и электромагнитного калориметра, а мюоны — с помощью мюонного идентификатора. Для считывания информации в установке используется около 600 тысяч каналов электроники. Для иллюстрации масштаба установки на рисунке 11 показан момент сборки электромагнитного калориметра.

Энергия протонов в ускорителе HERA составляет 820 ГэВ. При этой энергии сечение рождения В-мезонов примерно в миллион раз меньше неупругого сечения. С учетом относительных вероятностей распадов [29] $Br(B^0 \rightarrow J/\psi K_s^0) = 5 \times 10^{-4}$, $Br(J/\psi \rightarrow l^+l^-) = 0,06$, $Br(K_s^0 \rightarrow \pi^+\pi^-) = 0,69$ оказывается, что на 25 тысяч В-мезонов возникает только одно интересующее нас событие. Поэтому создание эффективной системы отбора нужных событий — эффективного триггера — является ключевой тем более, что частота взаимодействий очень высока — 40 МГц. Эта задача решается с помощью триггеров трех уровней, на каждом из которых используется все больше информации. На первом уровне с помощью калориметра и мюонных камер выделяются области в трековой системе, в которых мог пройти лептон, и там производится поиск треков. После нахождения треков вычисляется инвариантная масса пары l^+l^- и требуется, чтобы она была совместима с массой J/ψ -частицы.

С помощью специально разработанных процессоров удается осуществить все эти операции за 12 мкс и подавить фон в 200 раз, сохранив при этом более 60 % полезных событий. На втором уровне используется информация о вторичной вершине, что позволяет подавить фон еще в 25 раз. Наконец, на третьем уровне производится полная реконструкция события, что уменьшает фон еще в 20 раз.

В окончательном анализе выделение распада $B \rightarrow J/\psi K_s^0$ достигается, в основном, за счет точного вычисления инвариантной массы кандидата в В-мезон и требования, чтобы вершина распада В-мезона на несколько миллиметров отстояла от первичной. Поскольку СР-асимметрия мала при временах много меньших времени жизни В-мезона (см. (2)), требование заметной длины пролета В-мезона (вплоть до $\gamma ct \lesssim 0,7\tau_{\text{стВ}}$) практически не ухудшает точность в определении асимметрии.

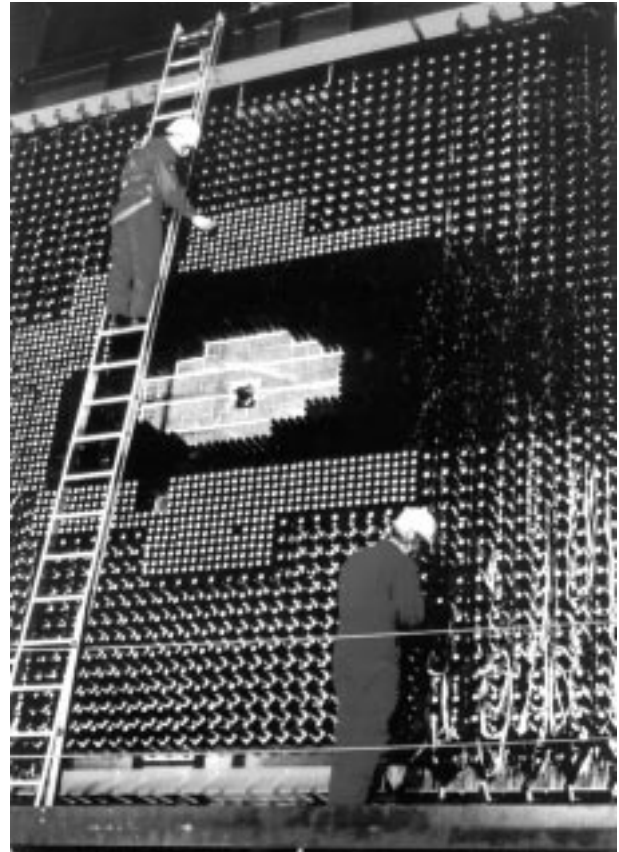


Рис. 11. Электромагнитный калориметр установки HERA-B.

Для регистрации распадов $B \rightarrow \pi^+ \pi^-$ и $B \rightarrow K^- \pi^+$ был разработан специальный триггер, выделяющий треки с большим поперечным импульсом [48]. Он использует корреляцию между отклонением трека в магнитном поле и его расстоянием от оси пучка. Чем больше расстояние от пучка, тем больше угол трека и меньше его импульс для заданного p_T , а следовательно, больше отклонение в магнитном поле.

Для вычисления CP-асимметрии необходимо разделять распады B^0 - и \bar{B}^0 -мезонов. Поскольку это нельзя сделать по конечным состояниям, которые идентичны, то обычно используют информацию о второй прелестной (анти)частице, родившейся вместе с изучаемым нейтральным B-мезоном. Она может быть идентифицирована по знаку лептонов и K-мезонов, возникающих в ее распаде. Таким образом можно "пометить" изучаемый B-мезон. Прелестные мезоны и барионы содержат по определению \bar{b} -кварк и распадаются на положительные первичные лептоны и положительные вторичные K-мезоны, а их античастицы — на отрицательные. К сожалению, в распадах прелестных частиц иногда возникают также лептоны и K-мезоны другого знака, что приводит к ошибкам в идентификации. Кроме того, возможна неверная идентификация адронов как лептонов и π -мезонов как K-мезонов. Наконец, если вторая прелестная частица также является B^0 -мезоном, то она может проосциллировать в свою античастицу, что опять приведет к неверной идентификации изучаемого B-мезона. Качество идентификации описывается параметром D , который в случае эксперимента HERA-B составляет примерно 0,4.

Точность в определении углов треугольника унитарности определяется следующей формулой:

$$\Delta \sin 2\phi = \frac{\sqrt{1+B/S}}{D} \sqrt{\frac{K}{\epsilon N}},$$

где N — число зарегистрированных событий, B/S — отношение фона к сигналу, ϵ — эффективность идентификации B-мезонов, D — ее качество и K — фактор, учитывающий то, что изучаемый нейтральный B-мезон осциллирует. В эксперименте HERA-B $K \approx 2$.

На рисунке 12 показана область в плоскости $\sin 2\alpha - \sin 2\beta$, разрешенная в CM, и ожидаемая точность

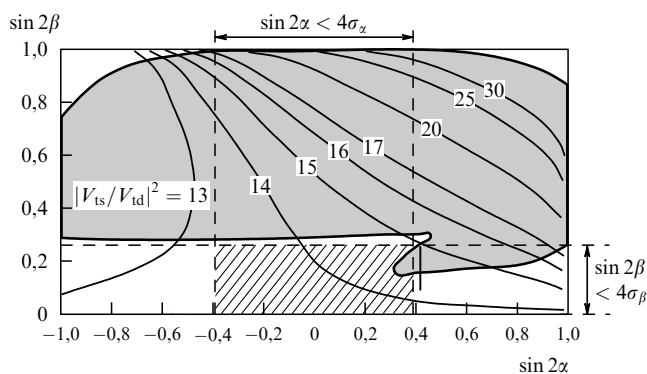


Рис. 12. Область в плоскости $\sin 2\alpha - \sin 2\beta$, разрешенная в CM. Пунктиром показана ожидаемая точность эксперимента HERA-B на уровне 4σ . Заштрихована область, где чувствительность эксперимента недостаточна для обнаружения CP-нарушения.

эксперимента HERA-B за четыре года работы. Видно, что практически во всей разрешенной области CP-асимметрия может быть обнаружена со значимостью не менее четырех стандартных отклонений. Конечно, реальность может оказаться хуже ожиданий. Например, последние данные CLEO указывают на то, что относительная вероятность распада $B^0 \rightarrow \pi^+ \pi^-$ примерно в 2 раза меньше вероятности, использованной в оценках. Но с другой стороны, кроме двух обсуждавшихся распадов для измерения углов треугольника унитарности могут использоваться и другие, например, $B^0 \rightarrow D^{*+} D^{*-}$ (угол β) и $B^0 \rightarrow \pi^+ a_1^-$ (угол α). Это должно улучшить точность.

3.2. B-фабрики

B-фабрики планируют работать в области $\Upsilon(4S)$ -резонанса, который распадается только на пары $B^+ B^-$ и $B^0 \bar{B}^0$. Это приводит к ряду преимуществ:

- 1) отсутствует фон от дополнительных частиц;
- 2) энергия B-мезонов хорошо известна, что позволяет использовать кинематические условия связи для подавления фона;
- 3) отношение сечения рождения B-мезонов к полному составляет 25 %.

B^0 - и \bar{B}^0 -мезоны рождаются в распаде $\Upsilon(4S)$ в P-волне. Вследствие статистики Бозе они остаются в когерентном $B^0 \bar{B}^0$ -состоянии до тех пор, пока один из них не распадется. Поэтому CP-асимметрия зависит не от времени, а от разницы во временах распада двух B-мезонов:

$$a(t) \sim \sin(\Delta m \Delta t).$$

При интегрировании по Δt она превращается в 0. Поэтому для наблюдения CP-асимметрии необходимо знать по крайней мере знак Δt . Измерить Δt можно, если $\Upsilon(4S)$ рождается не в покое, а движется в лабораторной системе. Тогда $\Delta t \approx \Delta z / \gamma \beta$, где Δz — расстояние между вершинами распадов B-мезонов, β — скорость $\Upsilon(4S)$ в лабораторной системе, а $\gamma = E_{\Upsilon(4S)} / M_{\Upsilon(4S)}$.

Для того, чтобы $\Upsilon(4S)$ двигался в лабораторной системе, энергии электронов и позитронов в B-фабриках различаются. Например на B-фабрике в SLAC электроны имеют энергию 9 ГэВ, а позитроны — 3,1 ГэВ, что приводит к среднему расстоянию между точками распада B-мезонов равному 250 мкм. Для производства достаточного количества B-мезонов B-фабрики должны иметь очень высокую светимость. Проектная светимость B-фабрики в SLAC составляет $3 \times 10^{33} \text{ см}^{-2} \text{ с}^{-1}$, что должно позволить получать 3 нейтральных B-мезона в секунду. К настоящему времени на симметричном $e^+ e^-$ -коллайдере CESR (Cornell, США), работающем также в области $\Upsilon(4S)$ -резонанса, достигнута светимость в $5,5 \times 10^{32} \text{ см}^{-2} \text{ с}^{-1}$.

Детекторы для B-фабрик очень напоминают детектор CLEO, работающий на симметричном $e^+ e^-$ -коллайдере. Но в них требуется намного более совершенный вершинный детектор и лучшая идентификация частиц. Ожидаемые точности в определении $\sin 2\beta$ и $\sin 2\alpha$ приведены для детектора BaBar в табл. 2.

3.3. Эксперименты CDF и D0

Эксперименты CDF и D0, работающие на $p\bar{p}$ -коллайдере во FNAL, нацелены, в основном, на исследования взаимодействий при сверхвысоких энергиях, поиски новых частиц и явлений. Однако они имеют хороший

потенциал и для исследования В-мезонов. В эксперименте CDF уже зарегистрировано самое большое в мире число распадов $B \rightarrow J/\psi K_s^0$. Сейчас и коллайдер, и детекторы модернизируются. После модернизации коллайдер достигнет светимости $2 \times 10^{32} \text{ см}^{-2} \text{ с}^{-1}$, что позволит, например, CDF зарегистрировать в 1999–2000 гг. 10^4 распадов В-мезонов на $J/\psi K_s^0$. К сожалению, качество (D) и эффективность (ϵ) "мечения" B^0 - и \bar{B}^0 -мезонов останутся довольно низкими даже после модернизации CDF [49]. Поэтому точность в $\sin 2\beta$ составит 0,08–0,13 и будет находиться на уровне чувствительности В-фабрик и эксперимента HERA-B, где ожидаемое число распадов на порядок меньше.

Для измерения угла α CDF создает новый триггер, требующий два трека, которые возникли из вторичной вершины. Точнее, требуется, чтобы два трека промахивались мимо первичного пучка как минимум на 100 мкм. Данный триггер должен позволить зарегистрировать распады $B^0 \rightarrow \pi^+\pi^-$ и измерить $\sin 2\alpha$ с точностью порядка 10 %.

3.4. LHC

Изучение нарушения СР-инвариантности в распадах В-мезонов является важным направлением в программе исследований на самом крупном рр-коллайдере LHC, сооружаемом сейчас в CERN. Эти исследования будут проводиться как на универсальных детекторах ATLAS и CMS, так и на детекторе LHCb, специально оптимизированном для исследования В-мезонов. Ожидаемая точность во всех трех экспериментах второго поколения существенно (в 3–10 раз) выше точности экспериментов первого поколения. И это неудивительно, так как число В-мезонов на LHC будет на 5 порядков больше, чем на В-фабриках. При ожидаемой точности порядка 1–3 % на первый план выходят систематические ошибки. Эксперимент LHCb, который очень похож на HERA-B и использует черенковские счетчики для идентификации частиц, будет лучше других экспериментов эти ошибки контролировать.

Для полноты картины следует сказать о проекте эксперимента ВTeV на рр-коллайдере TEVATRON [50], который может быть осуществлен до начала работы LHC. Его чувствительность сравнима с чувствительностью эксперимента LHCb, однако он еще не одобрен.

Кроме того, поиски СР-нарушения, не связанного с осцилляциями В-мезонов, планируются на детекторе CLEO, работающем на симметричном e^+e^- -коллайдере CESR, который после модернизации должен достичь светимости в $2 \times 10^{33} \text{ см}^{-2} \text{ с}^{-1}$ [51].

4. Заключение

В таблице 3 приведены характеристики различных экспериментов по поиску нарушения СР-инвариантности в В-мезонах. Ошибки в углах треугольника унитарности за один год работы установок приведены для распадов, дающих наилучшую точность. Усреднение по нескольким распадам может улучшить эту точность. В таблице 3 приведены также значения параметра x_s , до которых $B^0\bar{B}_s^0$ -осцилляции могут быть измерены в различных экспериментах. Первые три колонки относятся к экспериментам первого поколения, которые должны начать набор данных в 1999 г. Самое большое различие между ними состоит в числе рождаемых В-мезонов и в отноше-

Таблица 3. Эксперименты по поиску нарушения СР-инвариантности в В-мезонах

Ускоритель	HERA	В-фабрики	TEVATRON	LHC
Детектор	HERA-B	BaBar, BELLE	CDF, D0	LHCb
Начало работы	1999	1999	1999	2005
Тип взаимодействия	pCu	e^+e^-	p \bar{p}	pp
$\sigma_{b\bar{b}}$	12 нб	1 нб	100 мкб	500 мкб
$\sigma_{b\bar{b}}/\sigma_{in}$	10^{-6}	2×10^{-1}	2×10^{-3}	5×10^{-3}
$N_{b\bar{b}}/\text{год}$	4×10^8	3×10^7	2×10^{11}	5×10^{12}
$\delta(\sin 2\beta)$	0,13	0,10	0,08	0,01
$\delta(\sin 2\alpha)$	0,2	0,11	0,10	0,03
$\delta(\gamma)$	—	—	—	0,1
x_s	17	—	20	75

нии числа полезных событий к фону. При рождении В-мезонов протонами на фиксированной мишени (HERA) самой большой проблемой является громадный фон — сечение рождения В-мезонов составляет лишь одну миллионную от неупругого сечения. На В-фабриках фон очень маленький, но и количество В-мезонов тоже невелико. Поэтому в первом случае основной проблемой является создание детектора на пределе технологических возможностей. Во втором случае основной проблемой будет создание ускорителя с беспрецедентно высокой светимостью. Наконец, для экспериментов CDF и D0 основной проблемой будет улучшение триггера и качества мечения — ϵD^2 .

Ожидаемая точность в измерении углов треугольника унитарности примерно одинакова для экспериментов первого поколения. Показанные в табл. 3 различия не существенны и скорее отражают различия в оптимизме групп. Эксперименты следующего поколения будут намного точнее. В таблице 3 приведены параметры только одного из них, специализированного эксперимента по В-физике — LHCb, который заметно превосходит по точности универсальные детекторы ATLAS и CMS, на которых также планируются исследования прелестных частиц.

Механизм нарушения СР-инвариантности до сих пор не установлен. В ближайшее время будет сделан важный шаг к его пониманию. Будут проверены предсказания большого различия в свойствах прелестных и антипрелестных частиц. Первые эксперименты будут очень трудными. Но после нескольких лет работы они имеют хороший шанс обнаружить СР-нарушение в В-мезонах, если оно описывается СМ. Эксперименты следующего поколения, начало которых планируется на 2005 г., должны позволить количественно проверить предсказания СМ и будут иметь хорошую чувствительность к возможной "новой физике".

Автору приятно выразить благодарность Б.Л. Иоффе и Л.Б. Окуню за многочисленные обсуждения и Р.Н. Чистову за помощь в подготовке данной работы.

Список литературы

1. Ландау Л.Д. *ЖЭТФ* 32 405 (1957)
2. Landau L. *Nucl. Phys.* 3 127 (1957)

3. Dirac P A M *Proc. R. Soc. London Ser. A* **117** 610 (1928); **118** 351 (1928)
4. Dirac P A M *Proc. R. Soc. London Ser. A* **126** 360 (1930)
5. Oppenheimer J R *Phys. Rev.* **35** 562 (1930); Tamm I E Z. *Phys.* **62** 545 (1930)
6. Dirac P A M *Proc. R. Soc. London Ser. A* **133** 60 (1931)
7. Паули В *Общие принципы волновой механики* (М.: Гостехиздат, 1947) с. 287
8. Anderson C D, Neddermeyer S H *Phys. Rev.* **43** 1034 (1933)
9. Ting S C C et al. *Antimatter Magnetic Spectrometer Proposal* (1995)
10. Lee T D, Yang C N *Phys. Rev.* **104** 254 (1956)
11. Иоффе Б Л, Окунь Л Б, Рудик А П *ЖЭТФ* **32** 396 (1957)
12. Lee T D, Oehme R, Yang C N *Phys. Rev.* **106** 340 (1957)
13. Wu C S et al. *Phys. Rev.* **105** 1413 (1957)
14. Garwin R L, Lederman L M, Weinrich M *Phys. Rev.* **105** 1415 (1957)
15. Friedman J I, Telegdi V L *Phys. Rev.* **105** 1681 (1957)
16. Ландау Л Д *ЖЭТФ* **32** 407 (1957)
17. Salam A *Nuovo Cimento* **5** 299 (1957)
18. Lee T D, Yang C N *Phys. Rev.* **105** 1671 (1957)
19. Окунь Л Б *Слабое взаимодействие элементарных частиц* (М.: Физматгиз, 1963)
20. Christenson J H et al. *Phys. Rev. Lett.* **13** 138 (1964)
21. Сахаров А Д *Письма в ЖЭТФ* **5** 32 (1967)
22. Кузьмин В А *Письма в ЖЭТФ* **12** 335 (1970)
23. Kuzmin V A, Rubakov V A, Shaposhnikov M E *Phys. Lett. B* **155** 36 (1985)
24. Рубаков В А, Шапошников М Е *УФН* **166** 493 (1996)
25. Kobayashi M, Maskawa K *Prog. Theor. Phys.* **49** 652 (1973)
26. Wolfenstein L *Phys. Rev. Lett.* **51** 1945 (1983)
27. Schmidtler M, Schubert K R Z. *Phys. C* **53** 347 (1992)
28. Buras A J, Lautenbacher M E, Ostermaier G *Phys. Rev. D* **50** 3433 (1994)
29. Barnett R M et al. (Particle Data Group) *Phys. Rev. D* **54** 1 (1996)
30. Brom J-M et al. (HRS Collaboration) *Phys. Lett. B* **195** 301 (1987); Ash W W et al. (MAC Collaboration) *Phys. Rev. Lett.* **58** 640 (1987)
31. Albrecht H et al. (ARGUS Collaboration) *Phys. Lett. B* **318** 397 (1993)
32. Gibbons L K *Plenary Talk at the 28th Int. Conf. on High Energy Phys.* (Poland, Warsaw: July 1996)
33. Albrecht H et al. (ARGUS Collaboration) *Phys. Lett. B* **197** 452 (1987); Albrecht H et al. (ARGUS Collaboration) *Phys. Lett. B* **229** 175 (1989)
34. Волошин М Б, Шифман М А *ЯФ* **45** 463 (1987); **47** 801 (1988)
35. Isgur N, Wise M B *Phys. Lett. B* **232** 113 (1989); **B 237** 527 (1990); Neubert M *Phys. Rep.* **245** 259 (1994)
36. Albrecht H et al. (ARGUS Collaboration) *Phys. Lett. B* **234** 409 (1990); Fulton R et al. (CLEO Collaboration) *Phys. Rev. Lett.* **64** 16 (1990)
37. Alexander J P et al. (CLEO Collaboration) *Phys. Rev. Lett.* **77** 5000 (1996)
38. Высоцкий М И *ЯФ* **31** 1535 (1980)
39. Buras A J, Jamin M, Weisz P H *Nucl. Phys. B* **347** 491 (1990)
40. (UA1 Collaboration) *Talk at the XXII Int. Conf. on High Energy Phys.* (Leipzig, 1984)
41. Albrecht H et al. (ARGUS Collaboration) *Phys. Lett. B* **192** 245 (1987)
42. Tipton P *Plenary Talk at the 28th Int. Conf. on High Energy Phys.* (Poland, Warsaw: July 1996)
43. Buras A J *Plenary Talk at the 28th Int. Conf. on High Energy Phys.* (Poland, Warsaw: July 1996)
44. Ali A, Giudice G F, Mannel T Z. *Phys. C* **67** 417 (1995)
45. Gronau M, London D *Phys. Rev. Lett.* **65** 3381 (1990); *Phys. Lett. B* **253** 483 (1991)
46. Gavela M B et al. *Mod. Phys. Lett. A* **9** 795 (1994)
47. Grossman Y, Nir Y, Rattazi R, Preprint CERN-TH/96-368 (1996); Gronau M, London D *Phys. Rev. D* **55** 2845 (1997)
48. Balagura V V et al. *Nucl. Instrum. Methods A* **379** 404 (1996); Lohse T et al. "HERA-B Design Report" DESY-PRC 95/01 (1995)
49. Huffman B T *Nucl. Instrum. Methods A* **384** 79 (1996)
50. Kasper P, <http://xxx.lanl.gov/hep-ex/9803012> (1998)
51. Kopp S E *Nucl. Instrum. Methods A* **384** 61 (1996)

Search for CP invariancy violation in B-meson decays

M.V. Danilov

State Scientific Center of Russian Federation "Institute for Theoretical and Experimental Physics",
ul. B. Chermushkinskaya 25, 117218 Moscow, Russia
E-mail: danilov@iris1.itep.ru

Prospects for the observation of CP invariancy violation in B-meson decays are briefly reviewed based on the talk given at the Russian Academy of Science Presidium session of January 20, 1998.

PACS numbers: 11.15.Ex, 11.30.Fs, **12.60.-i**, 13.20.He, 14.40.Nd

Bibliography — 51 references

Received 30 April 1998